

Moderne Experimentalphysik III: Kerne und Teilchen (Physik VI)

Günter Quast, Roger Wolf, Pablo Goldenzweig
16. Mai 2017

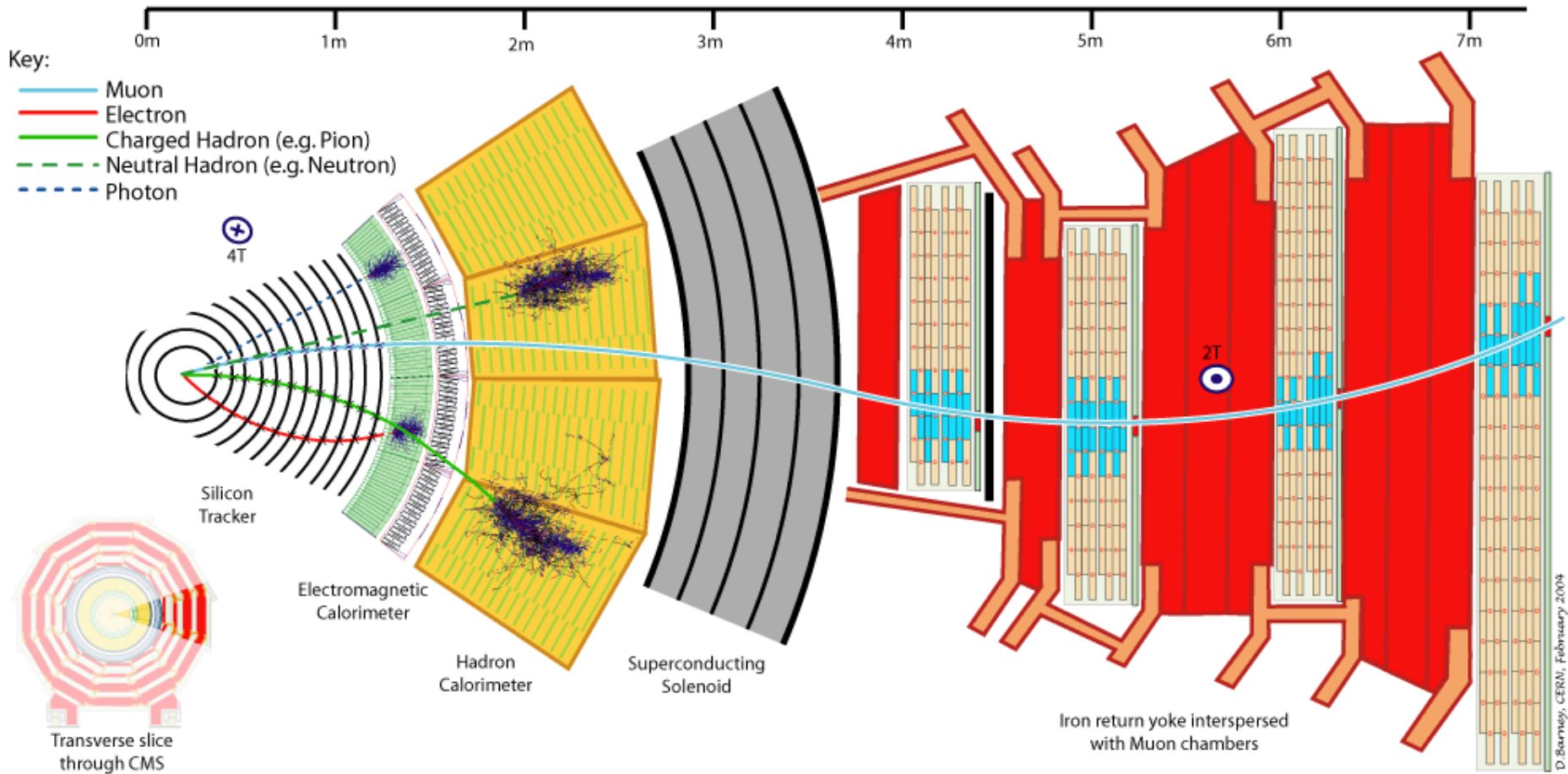
INSTITUTE OF EXPERIMENTAL PARTICLE PHYSICS (IEKP) – PHYSICS FACULTY



Kapitel 2.5: Detektorsysteme in der Teilchenphysik

Teilchennachweis bei CMS

- Putting things together...



- Schlüsselanforderungen:** optimale Impuls- und Energiebestimmung, möglichst alle erzeugten Teilchen in aktivem Detektormaterial stoppen

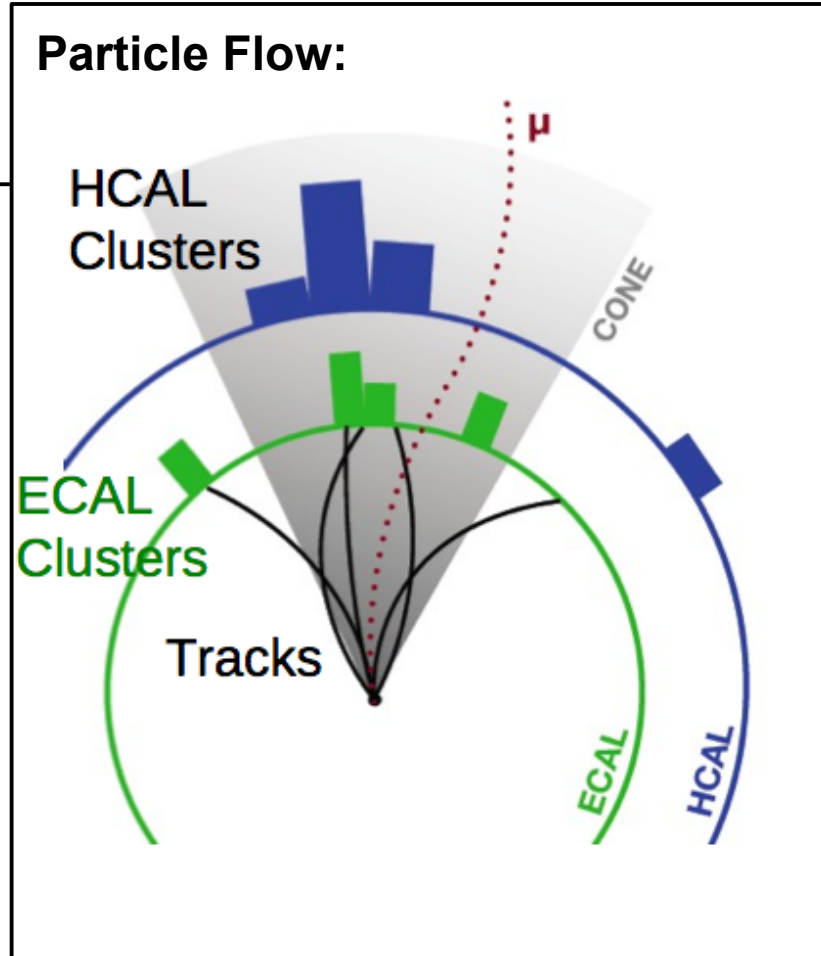
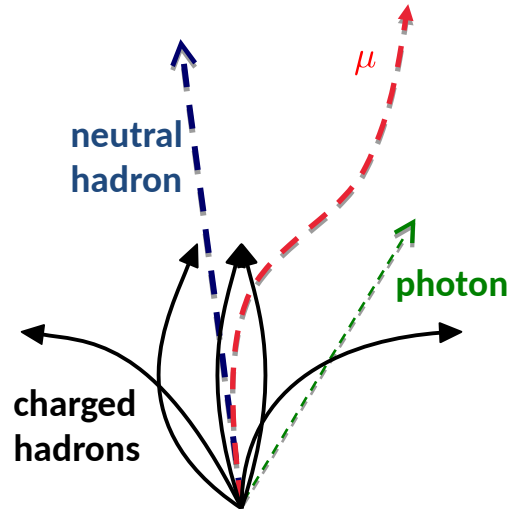
The Compact Solution (CMS)

- Reduce material in front of ECAL
- Strong magnet field of 3.8T outside calo's
- Inner tracker all silicon
($\Delta p/p = 0.5\%$ for a 10GeV track)
- Compact PbWO₄ ECAL
($\Delta E/E = 1\%$ for a 30GeV electron, $X_0 = 28$)
- Brass-scintillator sampling HCAL
($\Delta E/E = 10\%$ for a 100GeV pion, $\lambda_i = 10$)

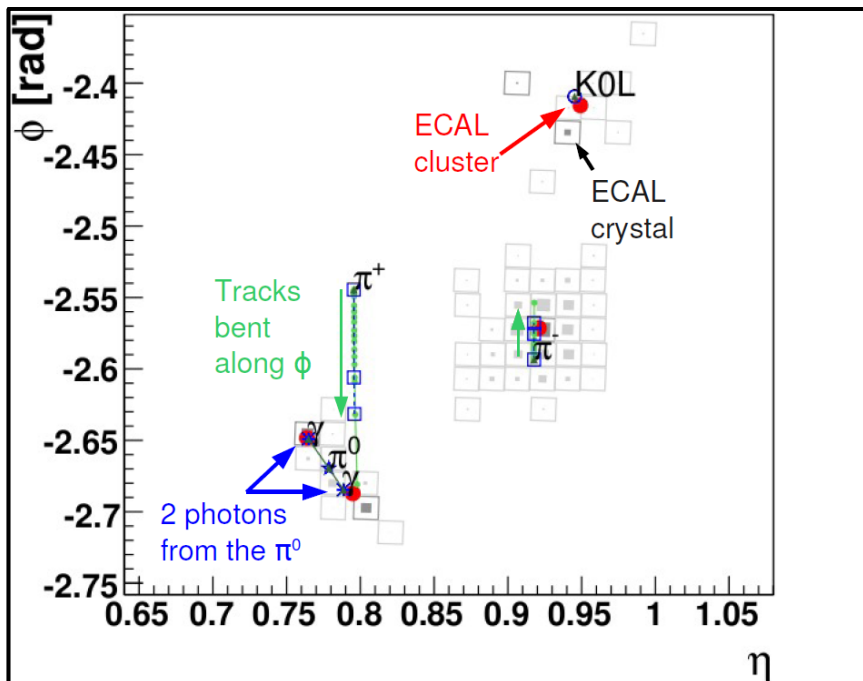
- Length : 21 m
- Diameter : 16 m
- Weight : 12'500 t

High level object reconstruction

- Combine all energy deposits in detector to a unique event description (\rightarrow stable particle level)



- Unambiguous list of stable particles: muons, electrons, photons, charged & neutral hadrons



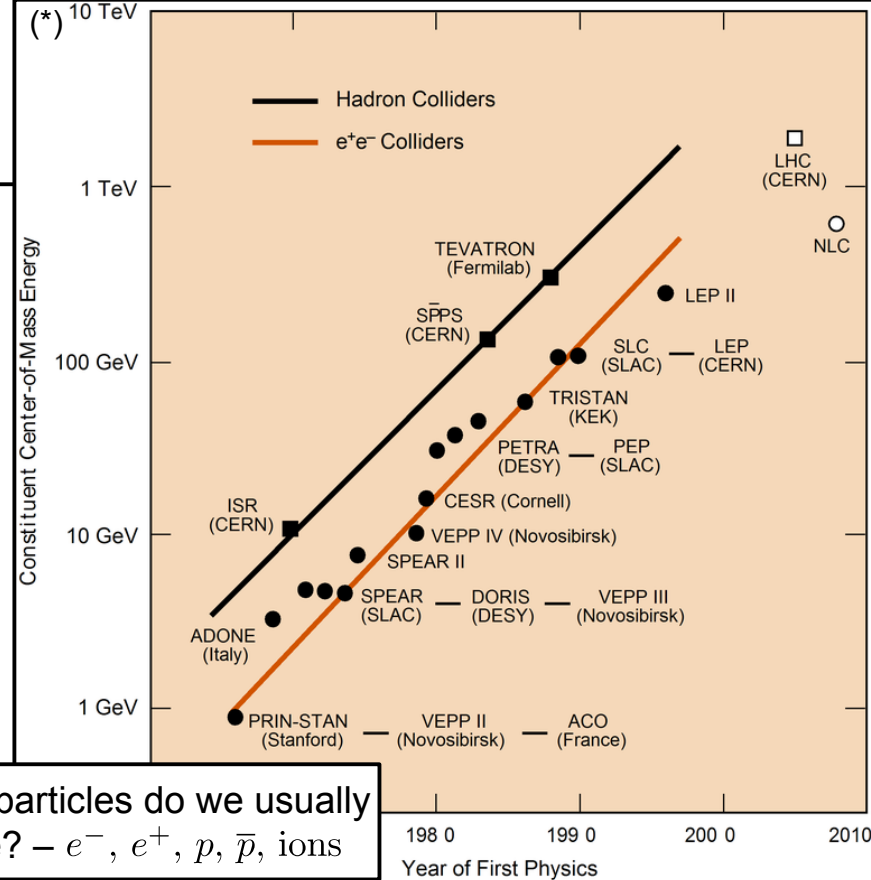
Kapitel 2.6: Beschleuniger in der Teilchenphysik

What is a particle accelerator?

M. S. Livingston (1905 – 1986):

A particle accelerator is a machine that uses electromagnetic fields to propel charged particles to nearly light speed and to contain them in well-defined beams.

- Colliding beams are our laboratory
- Reach out to highest energies (→ resolve smallest structures, Heisenberg uncertainty principle)
- Provide as many collisions per second as possible (→ observe rarest events)



What particles do we usually collide? – e⁻, e⁺, p, \bar{p} , ions

Livingston plot

Vergleiche mit [VL-03 Folie 17](#)

Cross section:

$$\sigma = \frac{N_{obs} - N_{BG}}{\mathcal{L} \cdot \epsilon \cdot A} \frac{1}{T}$$

N_{obs} : N observed reactions.

N_{BG} : N expected BG reactions.

\mathcal{L} : luminosity.

ϵ : detection efficiency.

A : detector acceptance.

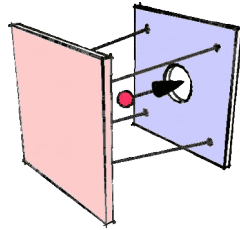
T : observation time.

(*)

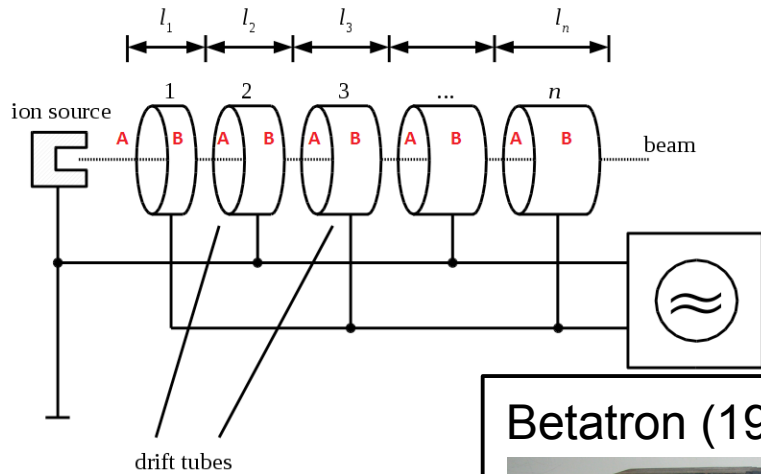
Aufgetragen ist colliding beam energy, für den LHC sind das nominell 7TeV (wird durch den plot nur von der Größenordnung her getroffen)

Different accelerators

Electrostatic acceleration:

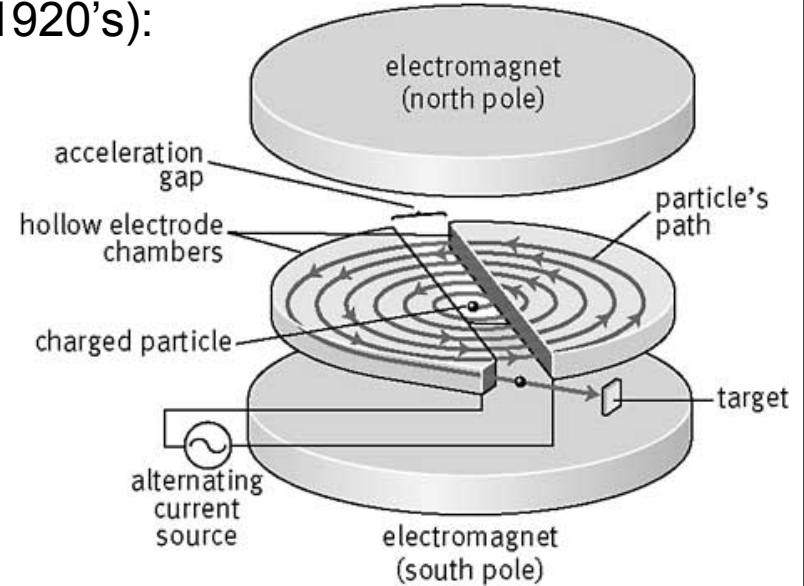


Linear accelerator:



Cyclotron (1920's):

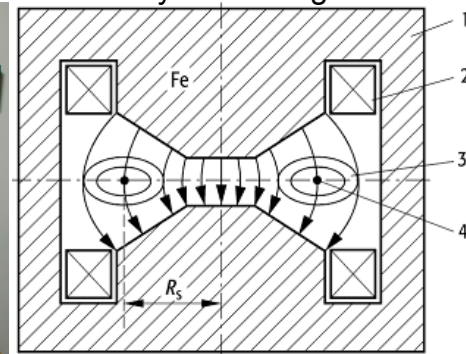
Radius increases with beam energy.



Precision Graphics

Betatron (1920's):

Radius const. – accelerating field induced by increasing B-field.



6MeV Betatron 1942–44
Siemens-Museum München

Zyklotronfrequenz

- Klassisch:

$$m \frac{v^2}{r} = q v B$$

$$\omega = \frac{v}{r} = \frac{q B}{m}$$

(Zyklotronfrequenz)

→ unabhängig vom Impuls

- Relativistisch:

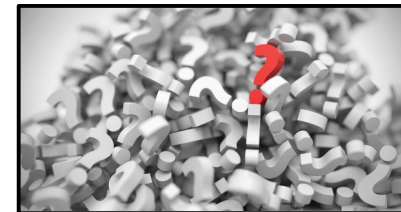
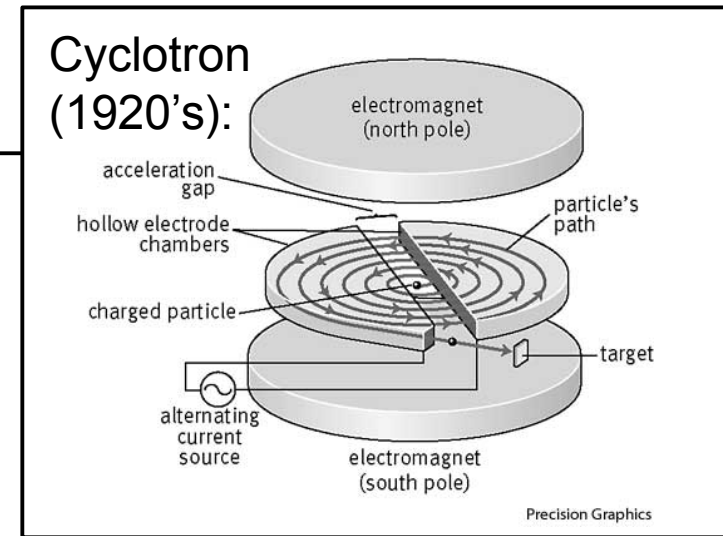
$$\omega = \frac{q B}{\gamma m}$$

$$r = \frac{\beta c}{\omega} = \frac{m \gamma \beta c}{q B} = \frac{p}{q B}$$

(Zyklotronradius)

→ analog zu Impulsbestimmung bei vorgegebenem Radius (s. [VL-06 Folie 24](#))

- **Beispiel:** Bahnradius für ein Proton, das mit einem Zyklotron auf 30 MeV beschleunigt wurde?



Zyklotronfrequenz

- Klassisch:

$$m \frac{v^2}{r} = q v B$$

$$\omega = \frac{v}{r} = \frac{q B}{m}$$

(Zyklotronfrequenz)

→ unabhängig vom Impuls

- Relativistisch:

$$\omega = \frac{q B}{\gamma m}$$

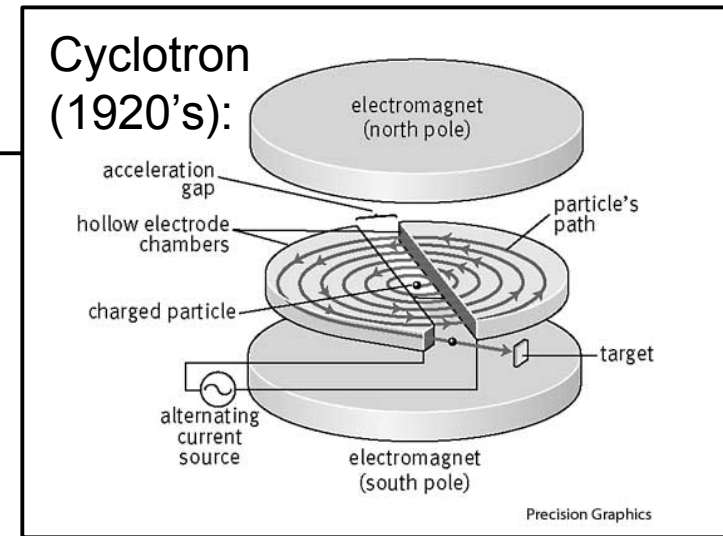
$$r = \frac{\beta c}{\omega} = \frac{m \gamma \beta c}{q B} = \frac{p}{q B}$$

(Zyklotronradius)

→ analog zu Impulsbestimmung bei vorgegebenem Radius (s. [VL-06 Folie 24](#))

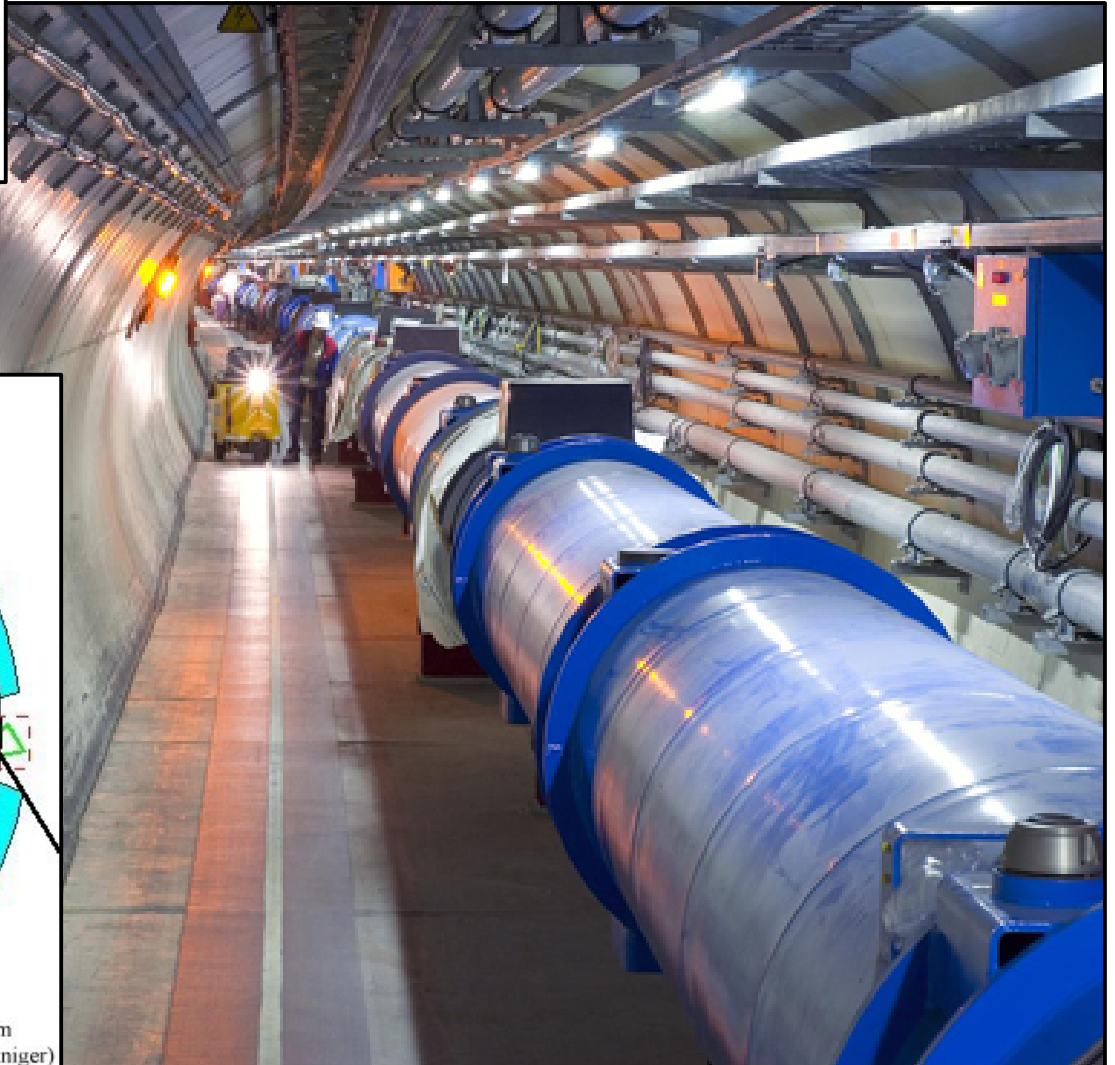
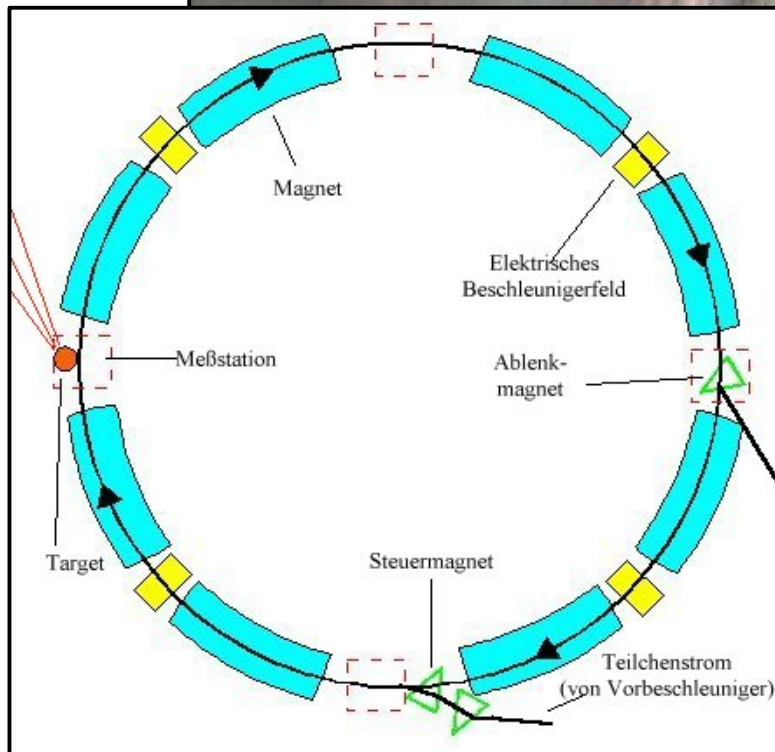
- **Beispiel:** Bahnradius für ein Proton, das mit einem Zyklotron auf 30 MeV beschleunigt wurde?

$$r [\text{m}] = \frac{p [\text{GeV}]}{0.3 \cdot B [\text{T}]} = 0.1 \text{ m}$$



Synchrotron

Radius const. – B-field
increased synchronously
w/ beam energy

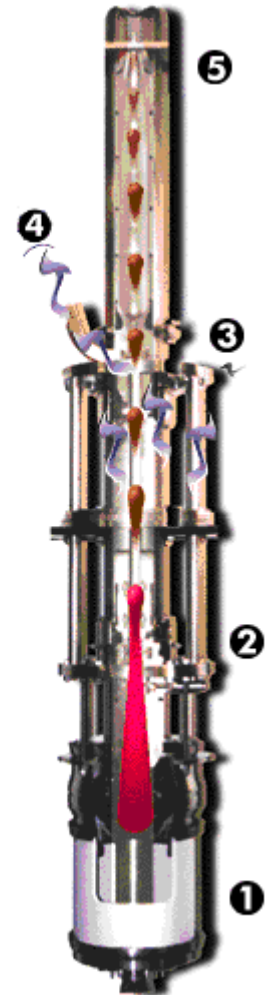


Accelerating power

- Acceleration happens via UHF in **Klystrons**:

- Acceleration of electrons (1)
- Density modulations in electron beam implied by external field (2)
- Due to these modulations electromagnetic wave travels through first cavity (3)
- Exit hole at end of cavity. The passing wave induces resonant wave in the surface of hole which damps electron beam and couples energy out to second cavity (4)

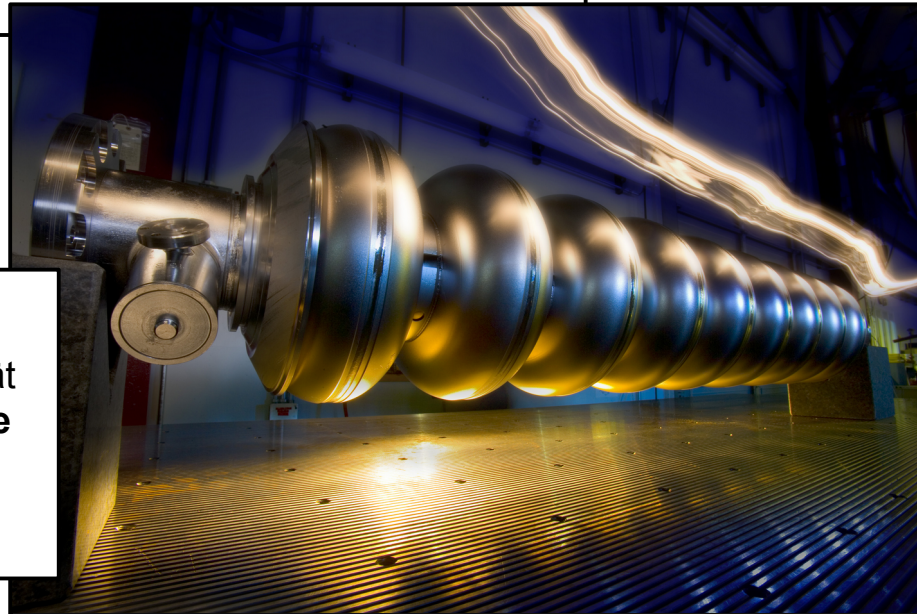
- (1) source
- (2) first cavity
- (3) UHF created by electron bunches
- (4) exit to second cavity
- (5) electron beam dump



Such cavities have to stand 50 – 80 MeV/m without discharges.

Anmerkung:

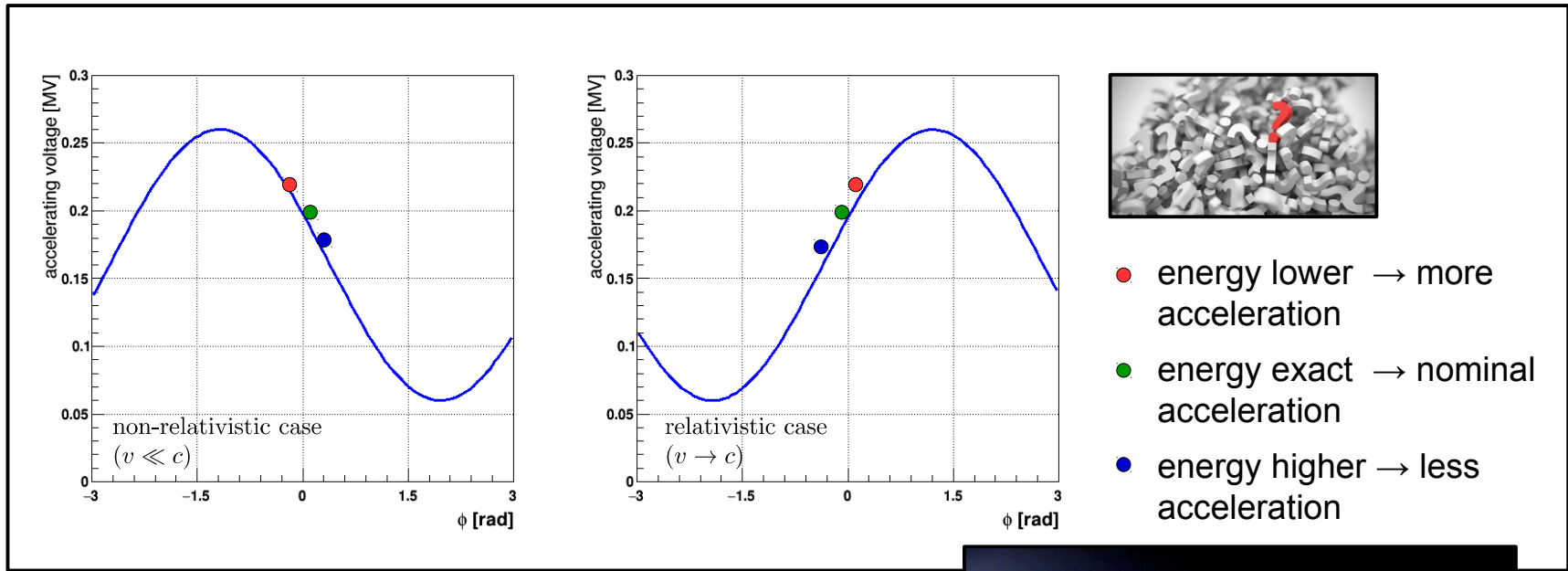
In der beschleunigenden Kavität bildet sich eine **stehende Welle** aus, die in ihrer Form auch der Struktur der Kavität entspricht



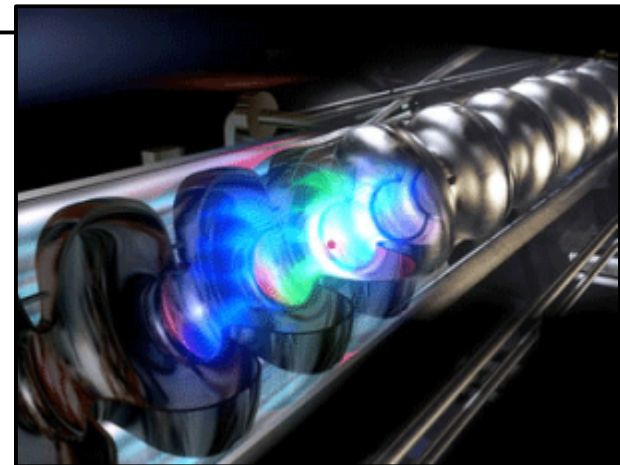
TESLA 9-cell 1.5 GHz SRF cavities from ACCEL Corp. Germany for the ILC

Phase focusing

- Energy focusing achieved by proper choice of phase of accelerating wave:



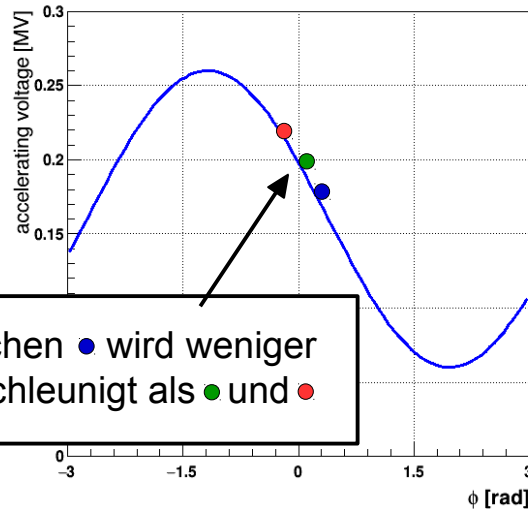
- This kind of acceleration leads to **bunching of projectiles**.
- Beams are brought to collision in bunches



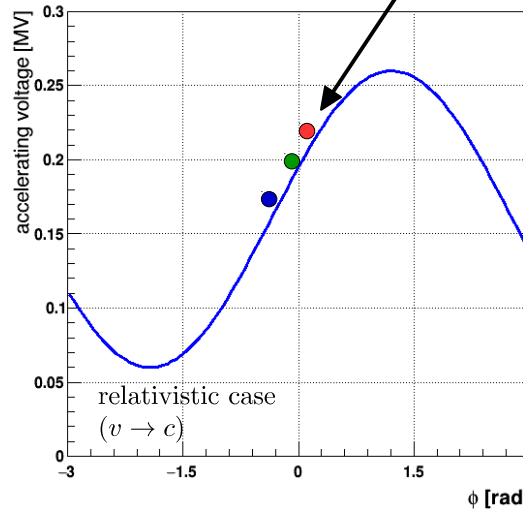
Phase focusing


- Energy focusing achieved by proper choice of accelerating wave:

$c = \text{const!}$ Aber \bullet bewegt sich auf größerem Radius durch den Beschleuniger. Jetzt werden \bullet und \bullet mehr beschleunigt und vergrößern ihren Radius entsprechend

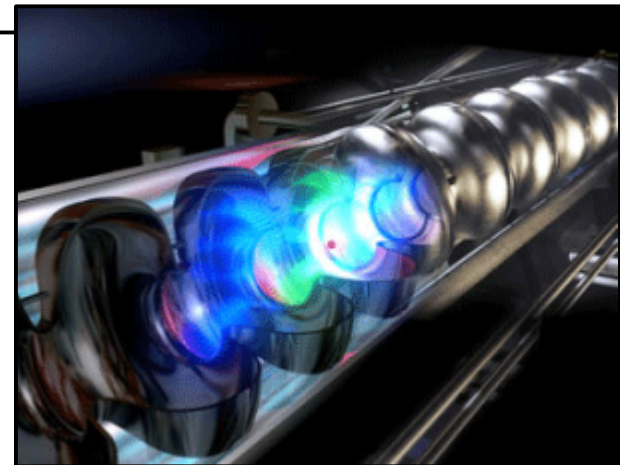


Teilchen \bullet wird weniger beschleunigt als \bullet und \bullet



- 
- \bullet energy lower \rightarrow more acceleration
 - \bullet energy exact \rightarrow nominal acceleration
 - \bullet energy higher \rightarrow less acceleration

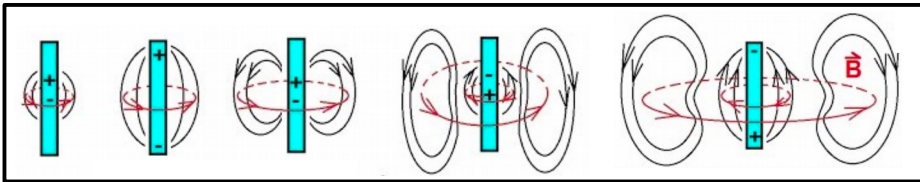
- This kind of acceleration leads to **bunching of projectiles**.
- Beams are brought to collision in bunches



Synchrotron radiation

Advantage of circular structures:
acceleration infrastructure can be recycled.

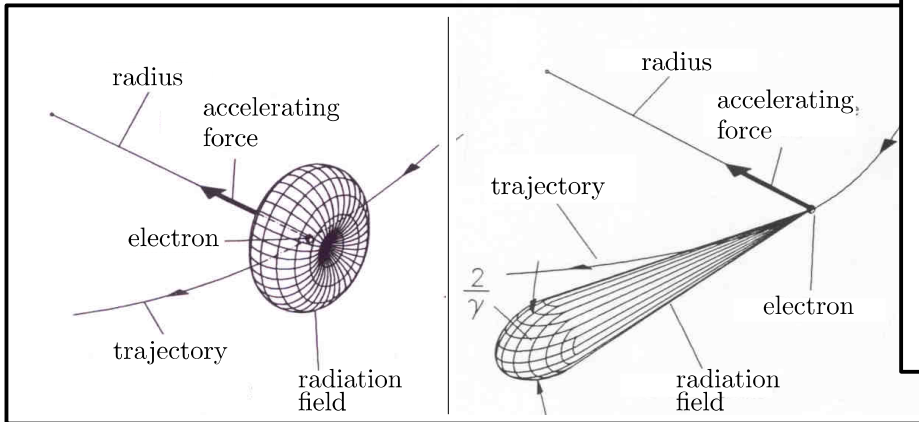
Disadvantage: need acceleration energy only to keep particles on track.



Radiation pattern of a dipole antenna.

electron center of mass frame:

laboratory frame:



Radiation pattern of a circular accelerated electron.

Energy radiated off per rotation cycle:

$$P = \frac{e^2}{6\pi\epsilon_0 c} |\vec{\beta}|^2 \gamma^4 = \frac{e^2 c}{6\pi\epsilon_0 R^2} \gamma^4 \quad (**)$$

$$= \frac{e^4}{6\pi\epsilon_0 R^2} \frac{E^2 B^2}{m^4}$$

$$P(p|_{m_p=1 \text{ GeV}}) \stackrel{(*)}{=} 280 \mu\text{W}$$

$$P(e|_{m_e=0.511 \text{ MeV}}) \stackrel{(*)}{=} 450 \text{ kW}$$

(*) using LHC parameters.

(**)

R: der Radius der Kreisbahn

Beam quality parameters

- Energy should be high, accurate and stable (\rightarrow chromaticity).
- Particle flux should be high (\rightarrow “brightness of source”):

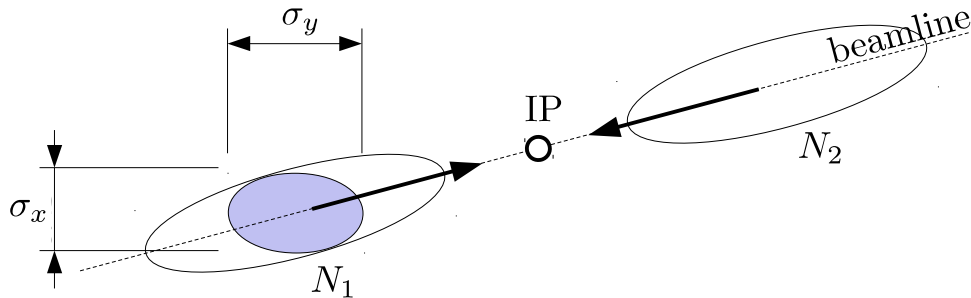
Luminosity:

ν : repetition frequency.

$N_{1,2}$: number of projectiles in beam i .

$$\mathcal{L} = \frac{1}{4\pi} \frac{\nu N_1 N_2}{\sigma_x \sigma_y}$$

$\sigma_{x,y}$: beam dimension in x, y.



- In experiment \mathcal{L} correlated against quantities that can be easily monitored (\rightarrow hits in pixel, energy in low angle calorimeter)
- Most accurate value obtained from reference processes.

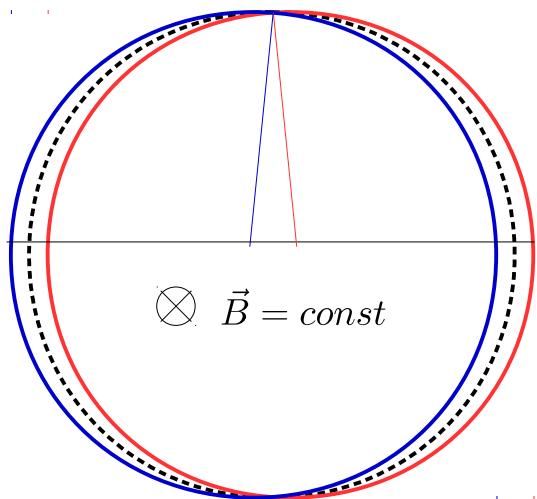
- Particles must be kept on track to achieve and sustain highest luminosity.

Weak & strong focusing

- Projectiles enter acceleration chain with different opening angles.
- Restrict opening angle from beginning (\rightarrow collimators).

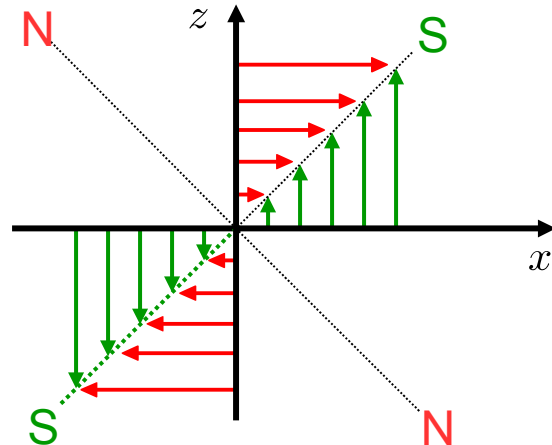
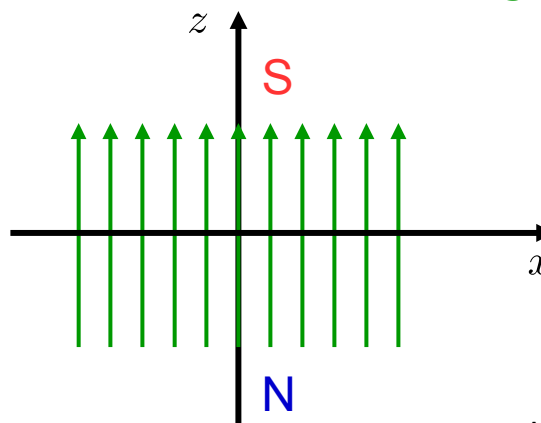
Weak focusing:

Two particles with small opening angle meet any half cycle.



Strong focusing:

Quadrupole field:
increasing linearly with x, z . Used for focussing.



Dipole field:

constant field. Used for bending.

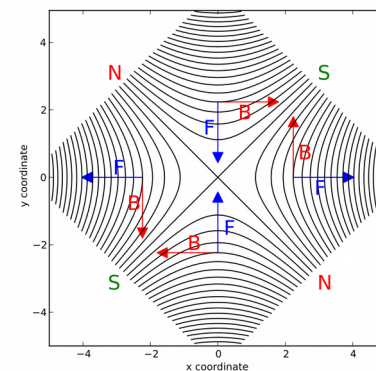
Assume proton moving into projected plain

Imagine opening angle of 1 mrad
accelerator radius of $R = 1000$ m:

What maximal distance between
the two particles do you expect?



Quadrupole field



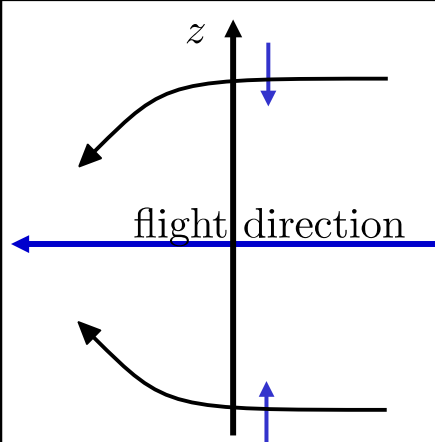
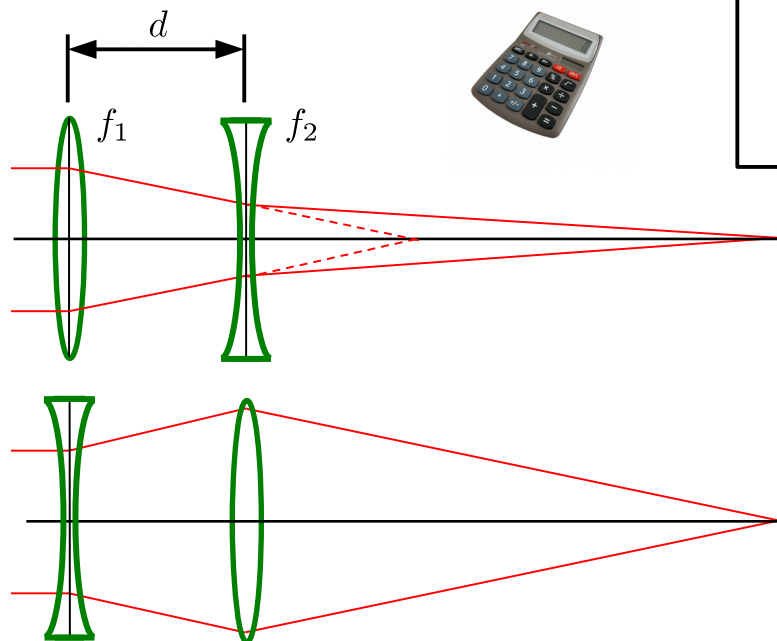
Quadrupole focusing

Arrange system of “lenses” to achieve focusing in both planes:

$$f_{12} = \frac{1}{\frac{1}{f_1} + \frac{1}{f_2} - \frac{d}{f_1 f_2}}$$

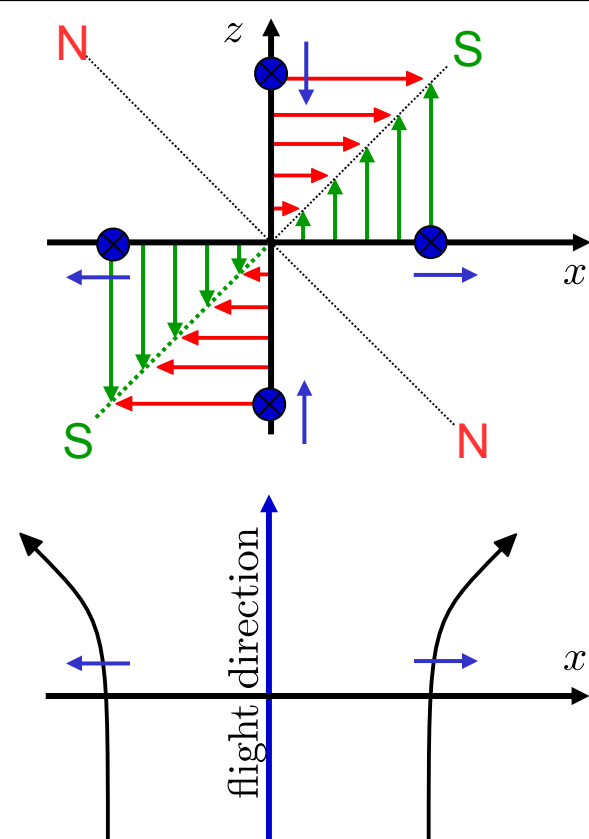
Calculate f_{12} for the simple example:

$$f_1 = -f_2 = 100 \text{ m} \quad d = 50 \text{ m}$$



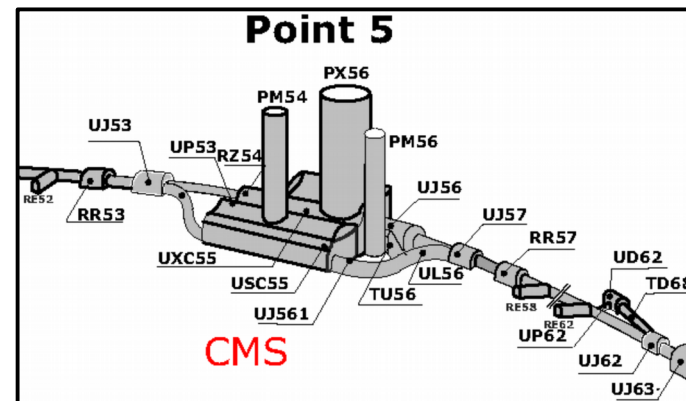
Side-view: focusing

Quadrupole acts like an optical lens focusing in one plane, defocussing in the other.



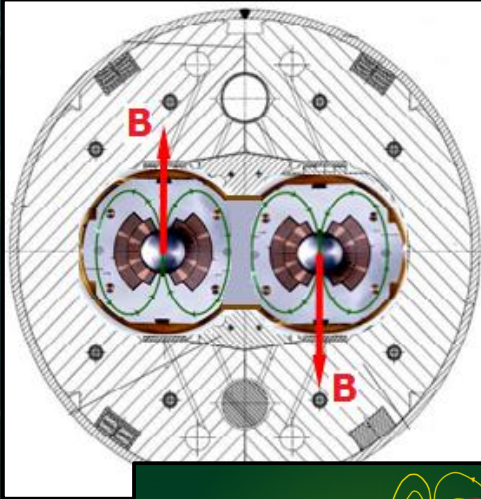
Up-view: defocussing

Trajectory of traversing proton



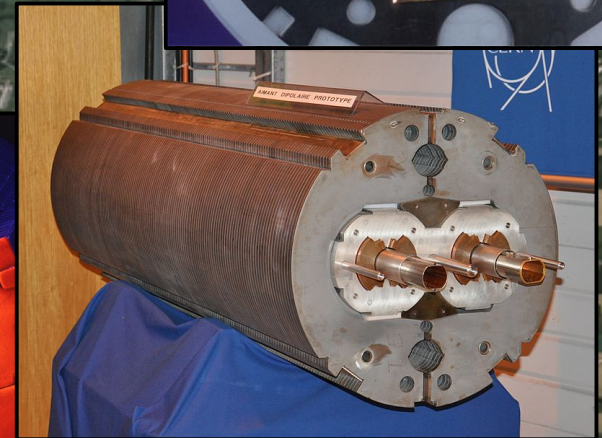
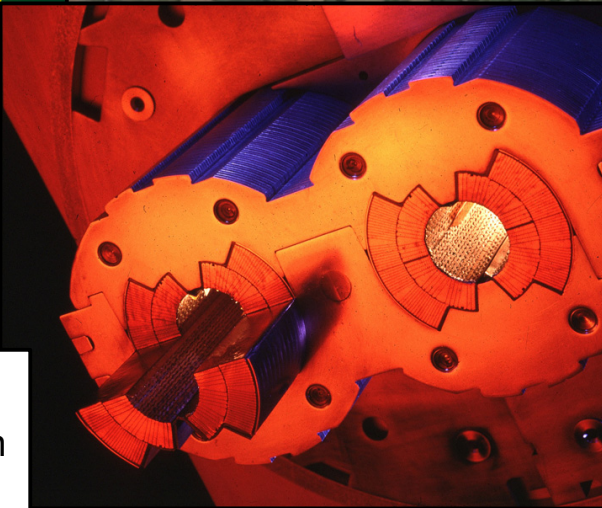
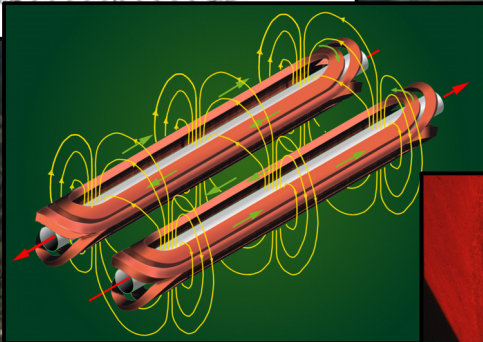
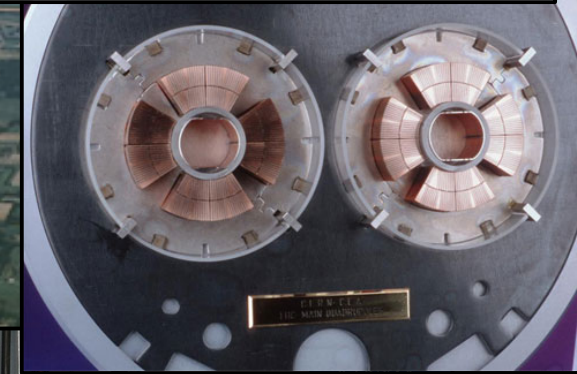
LHC beamline close to CMS

The Large Hadron Collider



- 8.3 T
- 11.8 kA
- 160 cyc

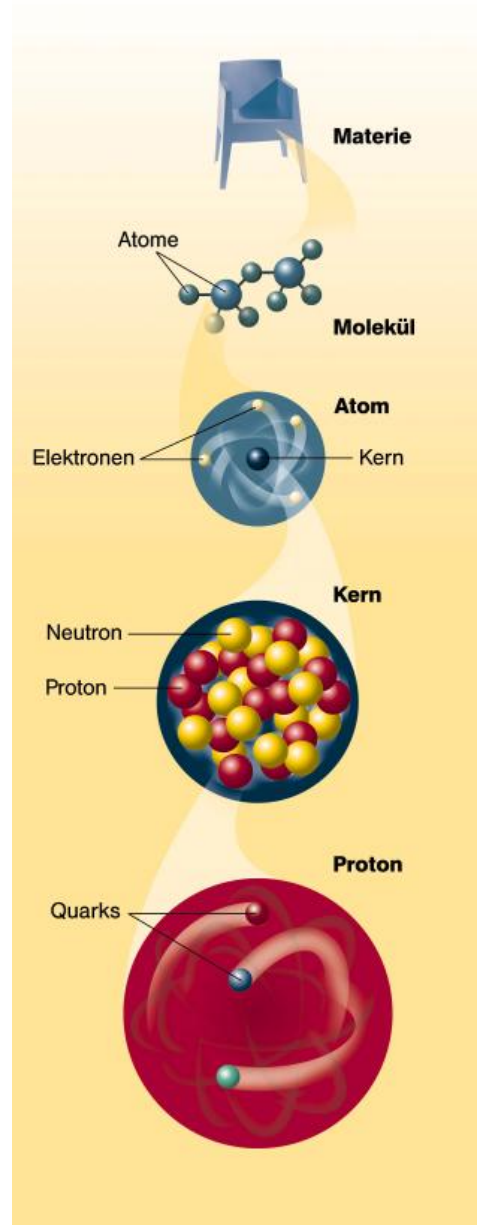
- Construction costs: 4.1 billion \$
- Construction time : 14 years
- Circumference : 27 km
- No of dipoles : 1232
- Power : 120 MW
- Luminosity(8TeV) : $8 \text{ nb}^{-1}/\text{sec}$



Eine Animation des LHC Beschleunigerkomplexes können Sie unter [diesem link](#) sehen

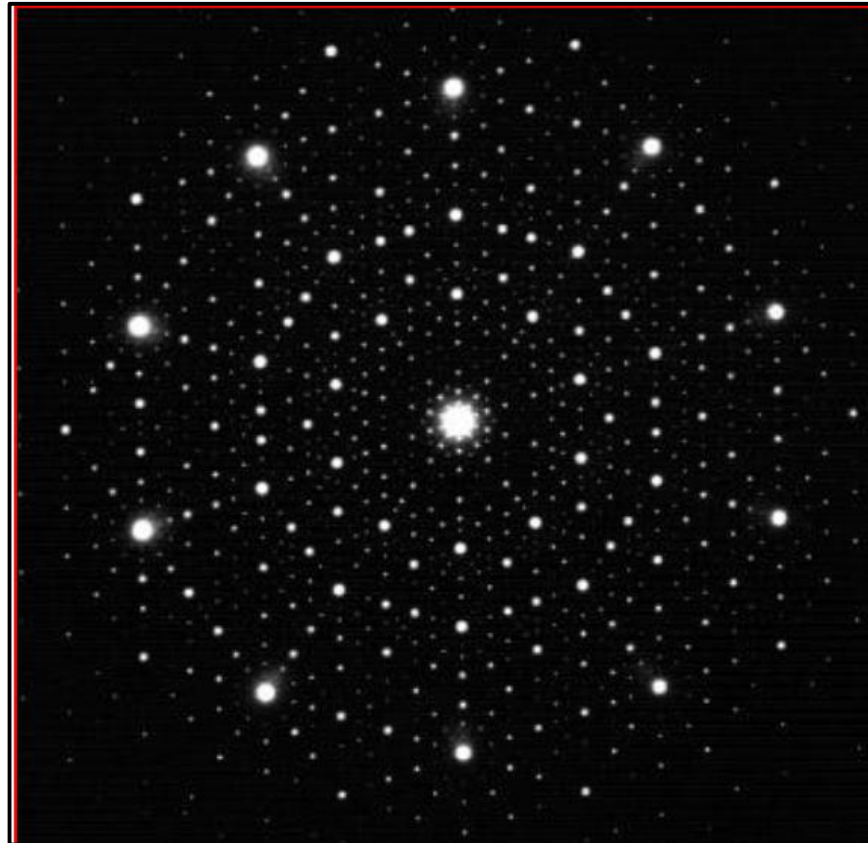
- Energy density 500 kJ/m
- Tension 200'000 t/m

Kapitel 3: Struktur der Materie



Strukturanalyse – Streuexperiment – Beugungsbild

- Strukturanalyse erfolgt mit Hilfe von Streuexperimenten
- Für kleine Strukturen: **Beugungsbild** (→ erlaubt Rückschlüsse auf räuml. Beschaffenheit des untersuchten Objekts)



Beugung am Spalt

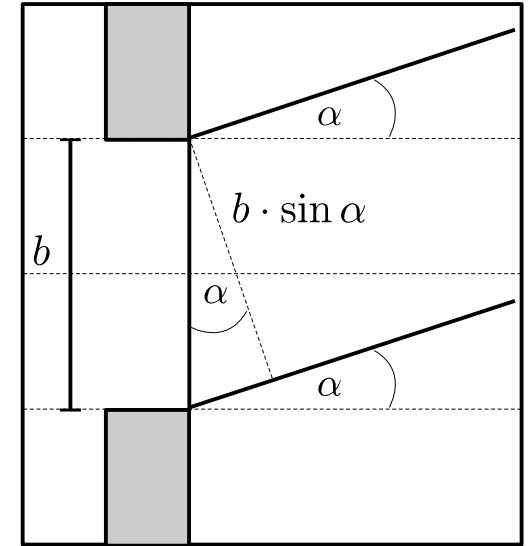
- Beispiel **Beugung am Spalt**:

$$\psi(\alpha) = \psi_0 e^{ikx} = \sum_{j < b \sin \alpha / \Delta x} \frac{\Delta x}{b \sin \alpha} \psi_0 e^{ikx_j}$$

im Grenzübergang $\Delta x \rightarrow 0$:

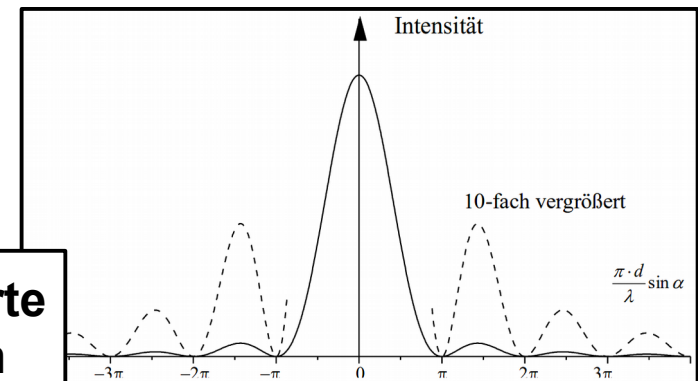
$$\psi(\alpha) = \int_{-b \sin \alpha / 2}^{+b \sin \alpha / 2} \frac{dx}{b \sin \alpha} \psi_0 e^{ikx} = \left[\frac{\psi_0}{b \sin \alpha} \frac{e^{ikx}}{ik} \right]_{-b \sin \alpha / 2}^{+b \sin \alpha / 2}$$

$$= \frac{\psi_0}{b \sin \alpha / 2} \left(\frac{e^{ik b \sin \alpha / 2} - e^{-ik b \sin \alpha / 2}}{2ik} \right) = \psi_0 \cdot \frac{\sin(k b \sin \alpha / 2)}{k b \sin \alpha / 2} \quad (\text{Spaltfunktion})$$



Inverse Fouriertransformation der Spaltfunktion erlaubt Rückschlüsse auf Aussehen des Spalts

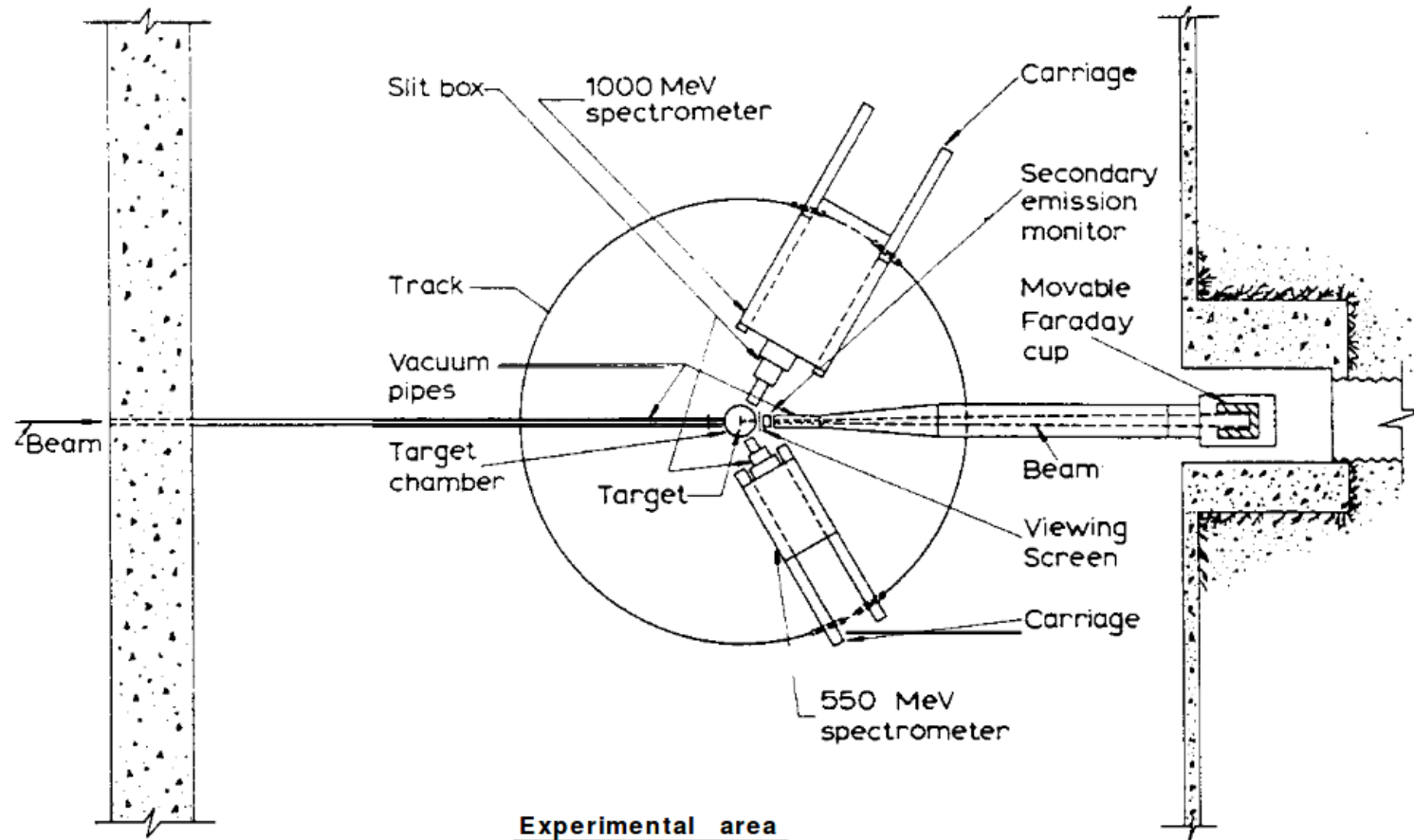
Fouriertransformierte
der Rechteckfunktion



Kapitel 3.1: Kernradien und Formfaktoren

Typische Experimente

- Streuung hochenergetischer Elektronen an ruhenden Kernen (fixed target) z.B. am Stanford Linear Accelerator ([SLAC](#)):



Mott-Wirkungsquerschnitt

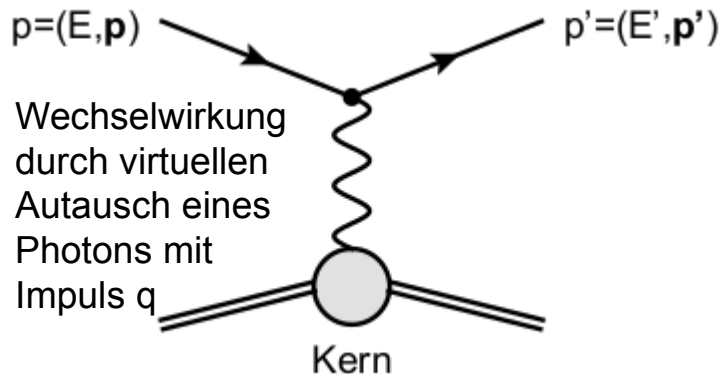
- Klassische Herleitung Rutherford-Wirkungsquerschnitt (s. [VL-03 Folien 9–13](#), ohne Spin)

$$\left(\frac{d\sigma}{d\Omega}\right)_{\text{Rutherford}} = \frac{(2zZ\alpha(\hbar c))^2 E^2}{q^4 c^4}$$

Im Fall von Rückstreuung:
 $E \rightarrow E_f$

- Für **Streuung relativistischer Elektronen**: Modifikationen durch Kernrückstoß und v.a. Spin des Elektrons:

$$\left(\frac{d\sigma}{d\Omega}\right)_{\text{Mott}} = \left(\frac{d\sigma}{d\Omega}\right)_{\text{Rutherford}} \cdot \frac{E_f}{E} \cdot \underbrace{\left(1 - \beta \sin^2\left(\frac{\theta}{2}\right)\right)}_{\cos^2\left(\frac{\theta}{2}\right) \text{ für } \beta \rightarrow 1} \quad (\text{Mott-Wirkungsquerschnitt})$$



Mott-Wirkungsquerschnitt

- Klassische Herleitung Rutherford-Wirkungsquerschnitt (s. [VL-03 Folien 9–13](#), ohne Spin)

$$\left(\frac{d\sigma}{d\Omega}\right)_{\text{Rutherford}} = \frac{(2zZ\alpha(\hbar c))^2 E^2}{q^4 c^4}$$

Im Fall von Rückstreuung:
 $E \rightarrow E_f$

- Für **Streuung relativistischer Elektronen**: Modifikationen durch Kernrückstoß und v.a. Spin des Elektrons:

$$\left(\frac{d\sigma}{d\Omega}\right)_{\text{Mott}} = \left(\frac{d\sigma}{d\Omega}\right)_{\text{Rutherford}} \cdot \left(\frac{E_f}{E}\right) \cdot \underbrace{\left(1 - \beta \sin^2\left(\frac{\theta}{2}\right)\right)}_{\cos^2\left(\frac{\theta}{2}\right) \text{ für } \beta \rightarrow 1} \quad (\text{Mott-Wirkungsquerschnitt})$$

$p=(E, \mathbf{p})$  $p'=(E', \mathbf{p}')$

Wechselwirkung
durch virtuellen
Austausch eines
Photons mit
Impuls q

Kern

• Kernrückstoß

Mott-Wirkungsquerschnitt

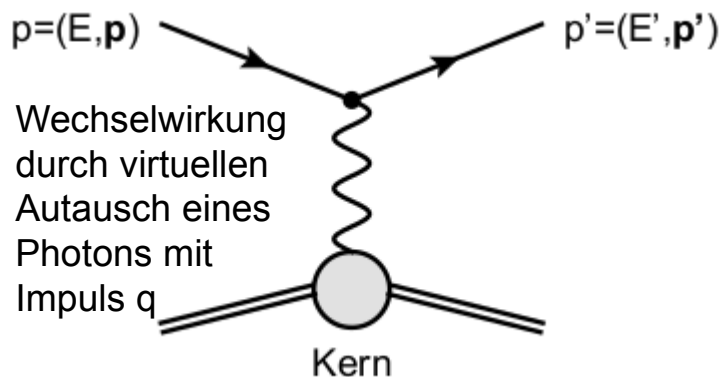
- Klassische Herleitung Rutherford-Wirkungsquerschnitt (s. [VL-03 Folien 9–13](#), ohne Spin)

$$\left(\frac{d\sigma}{d\Omega}\right)_{\text{Rutherford}} = \frac{(2zZ\alpha(\hbar c))^2 E^2}{q^4 c^4}$$

Im Fall von Rückstreuung:
 $E \rightarrow E_f$

- Für **Streuung relativistischer Elektronen**: Modifikationen durch Kernrückstoß und v.a. Spin des Elektrons:

$$\left(\frac{d\sigma}{d\Omega}\right)_{\text{Mott}} = \left(\frac{d\sigma}{d\Omega}\right)_{\text{Rutherford}} \cdot \frac{E_f}{E} \cdot \underbrace{\left(1 - \beta \sin^2\left(\frac{\theta}{2}\right)\right)}_{\left(\cos^2\left(\frac{\theta}{2}\right) \text{ für } \beta \rightarrow 1\right)} \quad (\text{Mott-Wirkungsquerschnitt})$$



- Kernrückstoß
- Elektronen-Spin
- Für $\beta = 1$ & Kerne ohne Spin Rückstreuung nicht möglich!

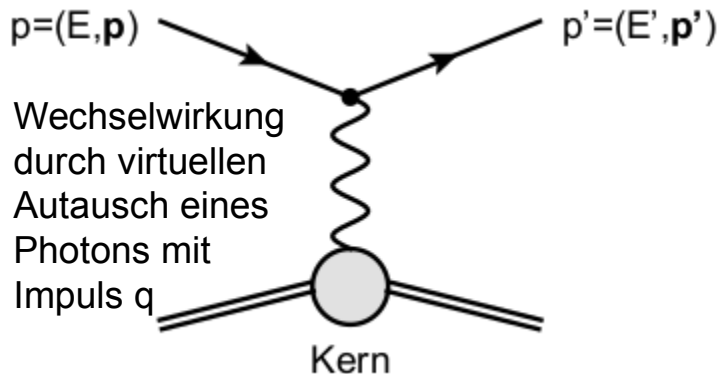
Helizität

- **Helizität** – Projektion des Spins auf Bewegungsrichtung:

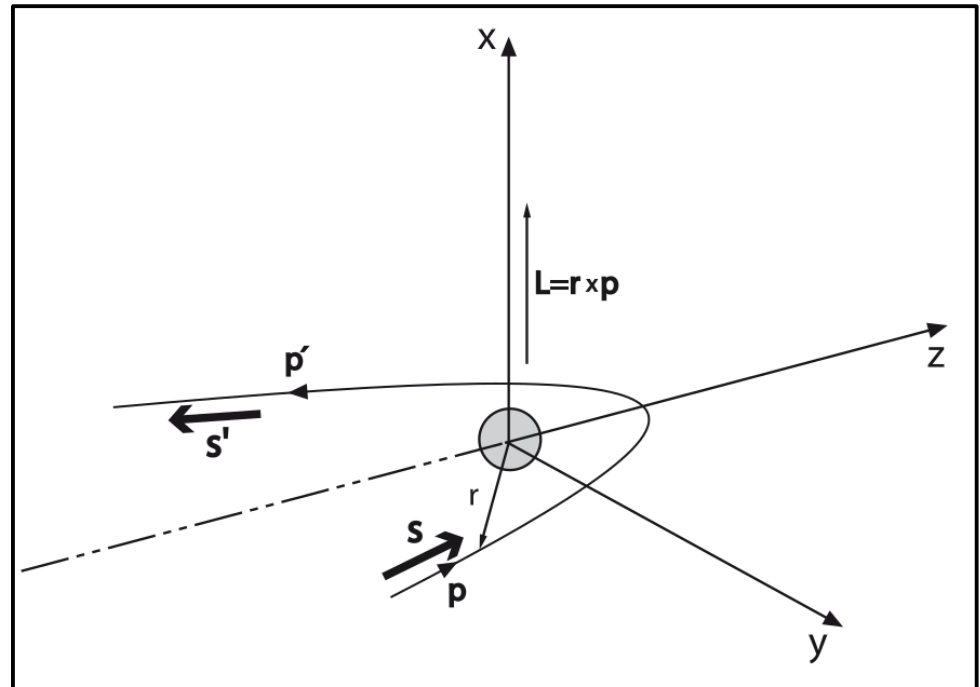
$$h \equiv \frac{\vec{s} \cdot \vec{p}}{|\vec{s}| |\vec{p}|}$$

Für $\beta \rightarrow 1$ ist Helizität eine **Erhaltungsgröße** (folgt aus Dirac-Gleichung)

- Bei Rückstreuung ($\theta = 180^\circ$) müßte Spin aufgrund von Helizitätserhaltung “umklappen”

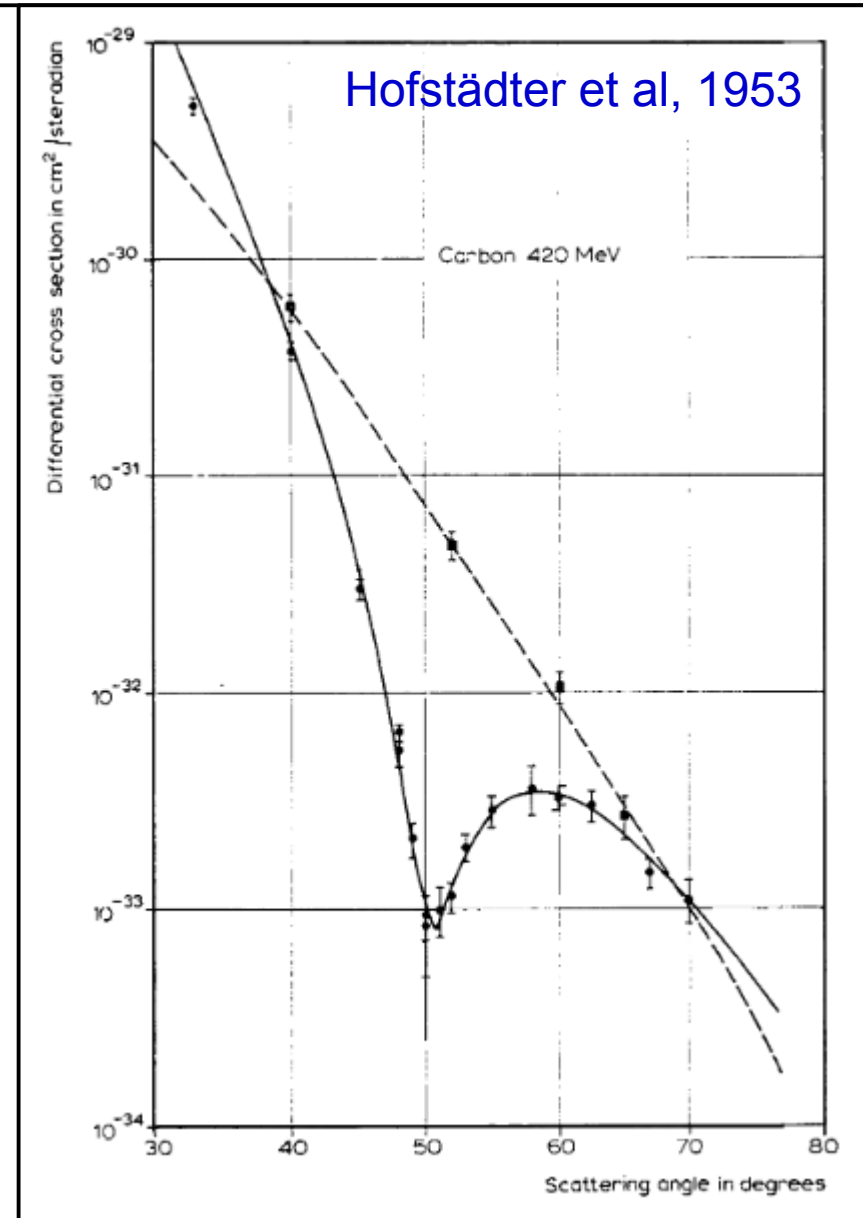


Bahndrehimpuls senkrecht zu Streuebene. “Umklappen” ohne Spin-Kern-Wechselwirkung nicht möglich



Beobachtung bei Elektron-Kern-Streuung

- Wirkungsquerschnitt **fällt schneller ab**, als für Mott-Wirkungsquerschnitt erwartet
- Ausgeprägte Minima und Maxima (erinnert an Beugung an Lochblende)
- **Heuristische Erklärung:**
 - Auflösung der Elektronen steigt mit Impulsübertrag des virtuellen Photons (Heisenberg: $\Delta x \geq \hbar/q$)
 - Kern besitzt ausgedehnte Ladungsverteilung. Elektron tastet nur Teil der Ladung ab \rightarrow geringerer Wirkungsquerschnitt



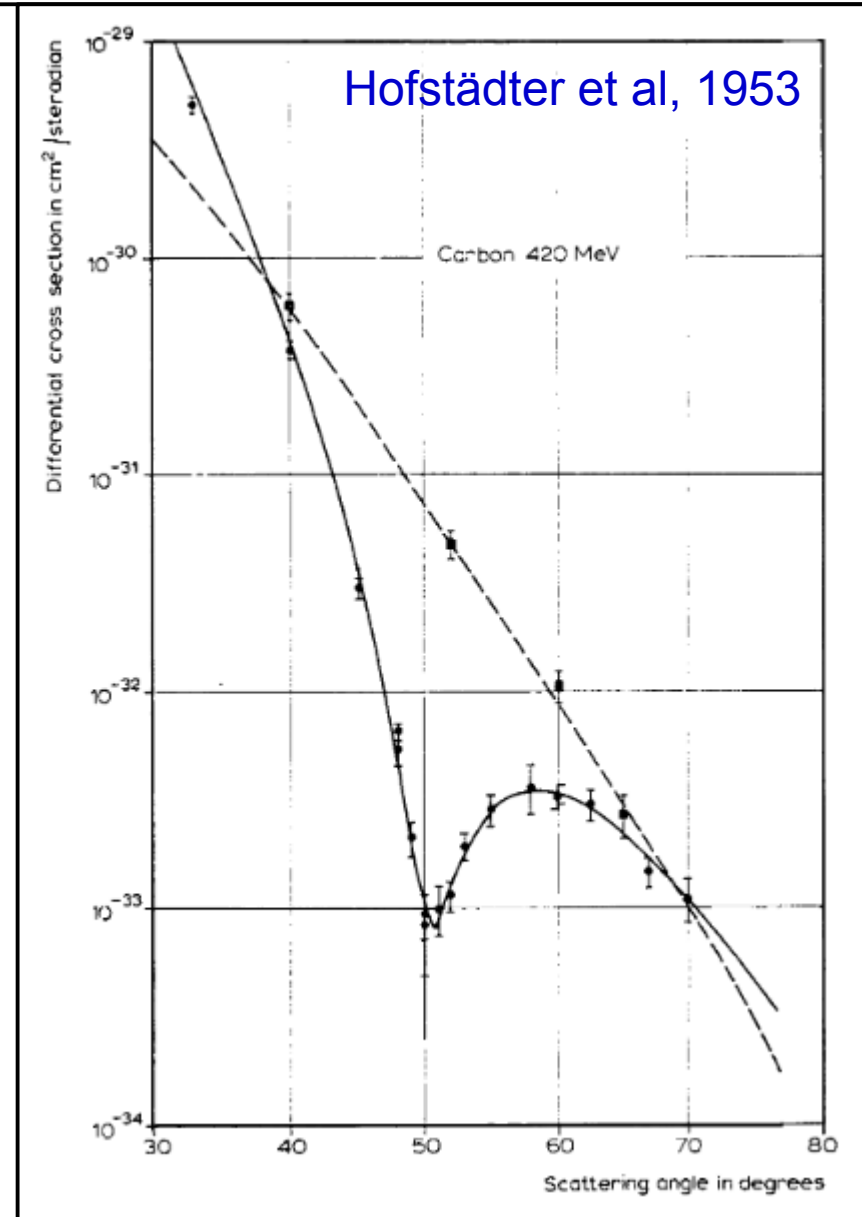
Beobachtung bei Elektron-Kern-Streuung

- Beschreibung durch **Formfaktor**:

$$\frac{d\sigma}{d\Omega} = \left(\frac{d\sigma}{d\Omega} \right)_{\text{Mott}} \cdot |F(\vec{q})|^2$$

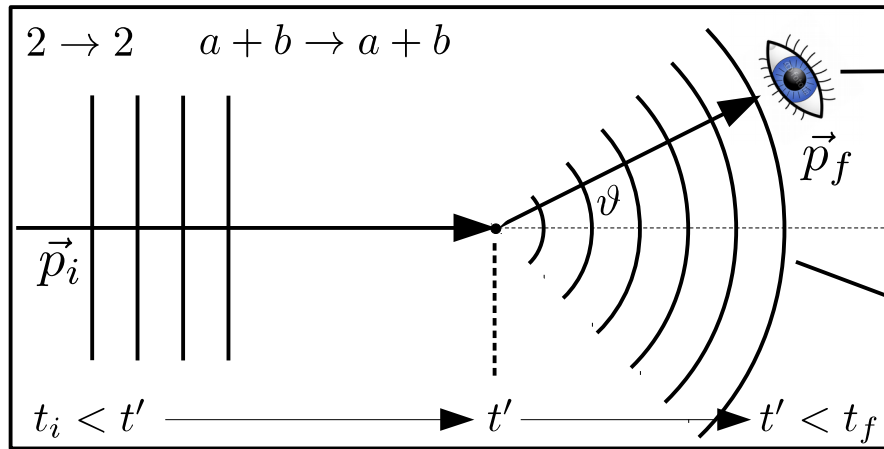
(vgl mit Beugungsmuster am Spalt)

- Um diesen Zusammenhang besser zu verstehen leiten wir im folgenden den Rutherford-Wirkungsquerschnitt noch einmal quantenmechanisch her



Rutherford-Wirkungsquerschnitt (Erinnerung WQ in QM)

- Imagine a continuous flux of (small) incident particles a impinging on a target particle b at rest and the elastic reaction $a + b \rightarrow a + b$:



Initial particle:
described by plain
wave ψ_i .

Localized potential.

Observation (in $\Delta\Omega$):
projection of plain wave
 ψ_f out of spherical scat-
tering wave ψ_{scat} .

Spherical scat-
tering wave ψ_{scat} .

Observation
probability:

$$\begin{aligned} \mathcal{S}_{fi} &= \psi_f^\dagger \cdot \psi_{\text{scat}} \\ &= \psi_f^\dagger \cdot \mathcal{S} \cdot \psi_i \end{aligned}$$

Scattering matrix \mathcal{S} transforms initial state
wave function ψ_i into scattering wave ψ_{scat}
($\psi_{\text{scat}} = \mathcal{S} \cdot \psi_i$).

Fermi's golden rule:

$$W = \frac{2\pi}{\hbar} |\mathcal{S}_{fi}|^2 \rho_f$$

$$\rho_f = \frac{d}{dE_f} \int \frac{d^3 p_f d^3 x_f}{(2\pi\hbar)^3}$$

phasespace factor for final state
products.

Rutherford-Wirkungsquerschnitt (QM) (I)

- **Fermi's Goldene Regel:**

$$W = \frac{2\pi}{\hbar} \cdot |\langle \psi_f | \mathcal{H}_{int} | \psi_i \rangle|^2 \cdot \rho_f \quad (\text{Streurrate, vgl VL-03 Folie 14})$$

$$W = \mathcal{L} \cdot \sigma = n_a \cdot v \cdot \sigma = \frac{v}{V} \cdot \sigma \quad (\text{Relation zu Wirkungsquerschnitt, vgl VL-03 Folie 4})$$

Anmerkung:

QM Rechnung für elastische
Streuung und OHNE
Berücksichtigung von Spin

Rutherford-Wirkungsquerschnitt (QM) (I)

- **Fermi's Goldene Regel:**

$$W = \frac{2\pi}{\hbar} \cdot |\langle \psi_f | \mathcal{H}_{int} | \psi_i \rangle|^2 \cdot \rho_f \quad (\text{Streurrate, vgl VL-03 Folie 14})$$

$$W = \mathcal{L} \cdot \sigma = n_a \cdot v \cdot \sigma = \frac{v}{V} \cdot \sigma \quad (\text{Relation zu Wirkungsquerschnitt, vgl VL-03 Folie 4})$$

- **Phasenraumfaktor:**

$$\rho_f = \frac{d}{dE_f} \int \frac{d^3 p_f d^3 x_f}{(2\pi \hbar)^3} = \frac{4\pi p_f^2 V}{(2\pi \hbar)^3} \frac{dp_f}{dE_f}$$

mit: $v \approx c$ $p_f = E_f/c$ $dp_f = dE_f/c$ (Impuls des gestreuten Teilchens im Endzustand)

$$d\sigma \frac{v}{V} = \frac{2\pi}{\hbar} \cdot |\langle \psi_f | \mathcal{H}_{int} | \psi_i \rangle|^2 \cdot \frac{4\pi p_f^2 V}{(2\pi \hbar)^3} \frac{dp_f}{dE_f} \cdot \frac{d\Omega}{4\pi}$$

$$\frac{d\sigma}{d\Omega} = \frac{V^2 E_f^2}{(2\pi)^2 (\hbar c)^4} |\langle \psi_f | \mathcal{H}_{int} | \psi_i \rangle|^2$$

Rutherford-Wirkungsquerschnitt (QM) (II)

- **Streuamplitude/Matrixelement** (“in führender Ordnung”):

$$\langle \psi_f | \mathcal{H}_{int} | \psi_i \rangle = \frac{ze}{V} \int_V e^{-i\vec{p}_f \vec{x} / \hbar} \phi(\vec{x}) e^{i\vec{p}_i \vec{x} / \hbar} d^3x = \int_V \phi(\vec{x}) e^{i\vec{q} \vec{x} / \hbar} d^3x$$

mit:

$$\mathcal{H}_{int} = ze \phi(\vec{x}) \quad \vec{q} = \vec{p}_i - \vec{p}_f \quad \psi_{i,f} = \frac{1}{\sqrt{V}} e^{i\vec{p}_{i,f} \vec{x} / \hbar}$$

Als nächstes verwenden wir die Identität: $\int_V (u \Delta v - v \Delta u) d^3x = 0$

$$\frac{d\sigma}{d\Omega} = \frac{V^2 E_f^2}{(2\pi)^2 (\hbar c)^4} |\langle \psi_f | \mathcal{H}_{int} | \psi_i \rangle|^2$$

Rutherford-Wirkungsquerschnitt (QM) (II)

- **Streuamplitude/Matrixelement** ("in führender Ordnung"):

$$\langle \psi_f | \mathcal{H}_{int} | \psi_i \rangle = \frac{ze}{V} \int_V e^{-i\vec{p}_f \vec{x} / \hbar} \phi(\vec{x}) e^{i\vec{p}_i \vec{x} / \hbar} d^3x = \int_V \phi(\vec{x}) e^{i\vec{q}\vec{x} / \hbar} d^3x$$

mit:

$$\mathcal{H}_{int} = ze\phi(\vec{x}) \quad \vec{q} = \vec{p}_i - \vec{p}_f \quad \psi_{i,f} = \frac{1}{\sqrt{V}} e^{i\vec{p}_{i,f} \vec{x} / \hbar}$$

Als nächstes verwenden wir die Identität: $\int_V (u\Delta v - v\Delta u) d^3x = 0$

$$\int_V -\frac{q^2}{\hbar^2} \phi(\vec{x}) e^{i\vec{q}\vec{x} / \hbar} d^3x = \int_V \Delta \phi(\vec{x}) e^{i\vec{q}\vec{x} / \hbar} d^3x$$

$$\int_V \phi(\vec{x}) e^{i\vec{q}\vec{x} / \hbar} d^3x = -\frac{\hbar^2}{q^2} \int_V \Delta \phi(\vec{x}) e^{i\vec{q}\vec{x} / \hbar} d^3x = -\frac{\hbar^2}{q^2} \int_V \frac{\rho(\vec{x})}{\epsilon_0} e^{i\vec{q}\vec{x} / \hbar} d^3x$$

$$\rho(\vec{x}) = Ze f(\vec{x})$$

$$\frac{d\sigma}{d\Omega} = \frac{V^2 E_f^2}{(2\pi)^2 (\hbar c)^4} |\langle \psi_f | \mathcal{H}_{int} | \psi_i \rangle|^2$$

$$\langle \psi_f | \mathcal{H}_{int} | \psi_i \rangle = \frac{zZe^2 \hbar^2}{\epsilon_0 q^2 V} \int_V f(\vec{x}) e^{i\vec{q}\vec{x} / \hbar} d^3x$$

Rutherford-Wirkungsquerschnitt (QM) (III)

- Wirkungsquerschnitt (“alles zusammengefaßt”):

$$\begin{aligned} \frac{d\sigma}{d\Omega} &= \frac{V^2 E_f^2}{(2\pi)^2 (\hbar c)^4} \left| \frac{z Z e^2 \hbar^2}{\epsilon_0 q^2 V} \int_V f(\vec{x}) e^{i\vec{q}\vec{x}/\hbar} d^3x \right|^2 & \alpha &= \frac{e^2}{4\pi\epsilon_0 \hbar c} = \frac{1}{137} \\ &= \frac{V^2 E_f^2}{(2\pi)^2 (\hbar c)^4} \left(\frac{4\pi z Z \alpha \hbar^3 c}{q^2 V} \right)^2 \left| \int_V f(\vec{x}) e^{i\vec{q}\vec{x}/\hbar} d^3x \right|^2 & & \text{(vgl VL-03 Folie 12)} \\ &= \frac{(2 z Z \alpha (\hbar c))^2 E_f^2}{q^4 c^4} \underbrace{\left| \int f(\vec{x}) e^{i\vec{q}\vec{x}/\hbar} d^3x \right|^2}_{\equiv 1 \text{ für } f(\vec{x}) = \delta(\vec{x})} & & \text{(vgl VL-03 Folie 13)} \end{aligned}$$

$$\frac{d\sigma}{d\Omega} = \frac{V^2 E_f^2}{(2\pi)^2 (\hbar c)^4} |\langle \psi_f | \mathcal{H}_{int} | \psi_i \rangle|^2$$

$$\langle \psi_f | \mathcal{H}_{int} | \psi_i \rangle = \frac{z Z e^2 \hbar^2}{\epsilon_0 q^2 V} \int_V f(\vec{x}) e^{i\vec{q}\vec{x}/\hbar} d^3x$$

Rutherford-Wirkungsquerschnitt (QM) (III)

- **Wirkungsquerschnitt** (“alles zusammengefaßt”):

$$\begin{aligned} \frac{d\sigma}{d\Omega} &= \frac{V^2 E_f^2}{(2\pi)^2 (\hbar c)^4} \left| \frac{z Z e^2 \hbar^2}{\epsilon_0 q^2 V} \int_V f(\vec{x}) e^{i\vec{q}\vec{x}/\hbar} d^3x \right|^2 & \alpha &= \frac{e^2}{4\pi\epsilon_0 \hbar c} = \frac{1}{137} \\ &= \frac{V^2 E_f^2}{(2\pi)^2 (\hbar c)^4} \left(\frac{4\pi z Z \alpha \hbar^3 c}{q^2 V} \right)^2 \left| \int_V f(\vec{x}) e^{i\vec{q}\vec{x}/\hbar} d^3x \right|^2 & & \text{(vgl VL-03 Folie 12)} \\ &= \frac{(2 z Z \alpha (\hbar c))^2 E_f^2}{q^4 c^4} \underbrace{\left| \int f(\vec{x}) e^{i\vec{q}\vec{x}/\hbar} d^3x \right|^2}_{\equiv 1 \text{ für } f(\vec{x}) = \delta(\vec{x})} & & \text{(vgl VL-03 Folie 13)} \end{aligned}$$

- **Formfaktor:**

$$F(\vec{q}) = \int_V f(\vec{x}) e^{i\vec{q}\vec{x}/\hbar} d^3x \quad \text{(Formfaktor)}$$

$$F(q) = 4\pi \int_0^\infty f(r) \frac{\sin(|q| r/\hbar)}{|q| r/\hbar} r^2 dr \quad \text{(für radialsymmetrische Ladungsverteilungen)}$$

Allgemeine Eigenschaft aller Streuexperimente (→ Spalt, Gitter, Kern, Nukleon, ...)

Gestalt der Kerne

- Aus Rücktransformation des Formfaktors \rightarrow Dichte der Ladungsverteilung

$$f(\vec{x}) = \frac{1}{(2\pi)^3} \int_V F(\vec{q}) e^{i\vec{q}\vec{x}/\hbar} d^3q$$

ABER: in Praxis nur begrenzte Bereiche in q meßbar (warum?)



- Daher üblicherweise Modellanpassung



Gliederung der Vorlesung

KW-17	1 Einführung		
	1.1 Organisation der Vorlesung		
	1.2 Übersicht und Literatur		
	1.3 Geschichte		
	1.4 Einheiten und Einheitssysteme		
	1.5 Relativistische Kinematik		
1.6 Streuexperimente			
KW-18	2 Experimentelle Methoden		
	2.1 Nachweis geladener Teilchen in Materie		
	2.2 Wechselwirkung von Elektron und Photon mit Materie		
	2.3 Hadronische Wechselwirkungen und Materie		
	2.4 Detektionstechniken		
	2.5 Detektorsysteme in der Teilchenphysik		
KW-19	2.6 Beschleuniger in der Teilchenphysik		
	3 Struktur der Materie		
		3.1 Kernradien und Formfaktoren	
		3.2 Struktur der Nukleonen	
KW-20	3.3 Fundamentaler Aufbau der Materie und ihre Wechselwirkungen		